

1 まえがき

砂はごく低い主応力比で降伏するが、ピーク強度までの耐圧強度増加は内部構造の変化に因る硬化現象で説明される。構造変化の微視的機構は粒子間のすべりのみならず回転をも伴い、複雑な様相を呈する。^{5), 6), 8), 9)} この報告では“主要な微視的変形機構は粒子間のすべりであり、回転成分による影響は無視できる”と仮定し、力学的かつ統計的に Granular Model を提案する。またこの Granular Model から導かれる巨視的特性などの程度砂の変形・強度特性を説明し得るかを示す。

2 主応力比と構造特性との関係

砂のピーク強度までの耐圧強度増加は粒子間接点 (C_i) での接平面への法線方向 (N_i) が圧縮方向 (σ_1) あるいは主軸方向へ集中する傾向に起因している^{4), 5), 6), 8), 9)} (図-1)。この事實は次のように説明できる。 σ_1 と一致する方向 (すなわち $\beta_i = 0^\circ$) に N_i を持つ接点であれば、接点に作用する σ_1 に平行な力の成分 F_{zi} を支持するのに有効な接点であり、一方 $\beta_i = 90^\circ$ とする接点においては力の成分 F_{zi} を支持するのに不利な接点と考えられる。

F_{zi} は 1 の確率変数とみなされるべきものであっても、 F_{zi} の平均値 \bar{F}_{zi} は $\beta_i = 0^\circ$ で最大値、 $\beta_i = 90^\circ$ で最小値となる β_i の函数とみなされる。そこで、平均値 \bar{F}_{zi} を接点 C_i における接触面積 (ΔS_i) の XY -平面への投影面積 ($\Delta S_i \cdot |\cos \beta_i|$) に比例すると仮定し、 \bar{F}_{zi} を β_i の函数として次式で与える。

$$\bar{F}_{zi} = k_z \cdot \Delta S_i \cdot |\cos \beta_i| \quad \dots \dots (1)$$

同様にして \bar{F}_{xi} , \bar{F}_{yi} を次式で与える。

$$\left. \begin{aligned} \bar{F}_{xi} &= k_x \cdot \Delta S_i \cdot |\sin \beta_i \cdot \cos \alpha_i| \\ \bar{F}_{yi} &= k_y \cdot \Delta S_i \cdot |\sin \beta_i \cdot \sin \alpha_i| \end{aligned} \right\} \dots \dots (2)$$

粒子 G_1, G_2, \dots, G_n は単位立方体内にその各々の重心を定める粒子で、かつ接点 C_1, C_2, \dots, C_n で単位立方体外にある粒子 G'_1, G'_2, \dots, G'_n と接している。各接点における接平面への法線方向を N_1, N_2, \dots, N_n とする (図-2)。もし n が十分大きくすれば、接点 C_1, C_2, \dots, C_n に作用する主軸方向の力の合計 ($\sum_{i=1}^n \bar{F}_{zi}$) は近似的に $\sigma_1^2 \times 1^2$ に等しいので次式を得る。

$$\sigma_1^2 = \sum_{i=1}^n \bar{F}_{zi} = k_z \cdot n \cdot \Delta S \cdot |\cos \beta_i| \quad \dots \dots (3)$$

ここで ΔS は ΔS_i の平均値とし、 $|\cos \beta_i|$ は $|\cos \beta_i|$ の平均値で、次式で与えられる ($E(\alpha, \beta) = N(\alpha, \beta)$ の確率密度函数^{3), 7)})

$$|\cos \beta_i| = \int_0^{\pi} \int_0^{2\pi} |\cos \beta| E(\alpha, \beta) \sin \beta \, d\alpha \, d\beta \quad \dots \dots (4)$$

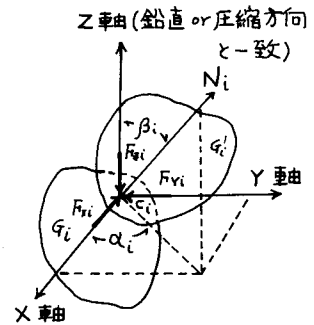


図-1 座標軸と法線方向 N_i

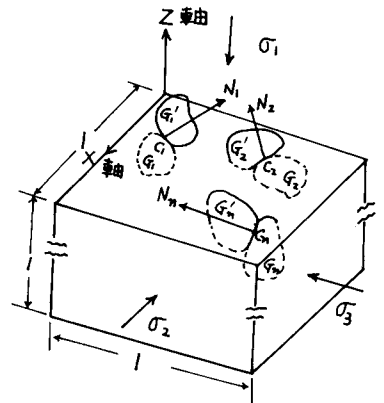


図-2 単位立方体

(1), (2), (4)式から比列定数 \$k_x\$ は次式で求められる。

$$k_x = \frac{\sigma_1}{\Delta S \cdot \pi \int_0^{\pi/2} \int_0^{2\pi} E(\alpha, \beta) / |\cos \beta| \cdot \sin \beta \, d\alpha d\beta} \dots (5)$$

X, Y 軸方向に関する同様の検討から次式を得る。

$$k_x = \frac{\sigma_2}{\Delta S \cdot \pi \int_0^{\pi/2} \int_0^{2\pi} E(\alpha, \beta) / \sin \beta \cdot \cos \alpha | \sin \beta \, d\alpha d\beta} \dots (6)$$

$$k_y = \frac{\sigma_3}{\Delta S \cdot \pi \int_0^{\pi/2} \int_0^{2\pi} E(\alpha, \beta) / \sin \beta \cdot \sin \alpha | \sin \beta \, d\alpha d\beta} \dots (6)$$

ここで先に導入した構造特性を表わすパラメータ \$X, Y, S_x, S_y, S_z\$ を使えば, (5), (6)式は簡単な次式で表わされる。

$$k_x = \sigma_2 / S_x, \quad k_y = \sigma_3 / S_y, \quad k_z = \sigma_1 / S_z \dots (7)$$

ここでこの接点 \$C_i\$ (図-3) に注目する。\$\sigma_1 > \sigma_2 = \sigma_3\$ の場合における \$N_i\$ の分布は \$\sigma_1\$ 方向に対称軸を持つ軸対称分布となるので, X 軸は XY-平面上に任意に選べる。粒子間のすべりは \$N_i\$ と Z 軸を含む平面内 (\$\pi_i\$) に発生するの¹⁾で, X 軸をこの平面内にとれば \$\alpha_i = 0^\circ\$ と取り, \$\bar{F}_{xi}, \bar{F}_{yi}, \bar{F}_{zi}\$ は (1), (2), (4)式から次のように与えられる。

$$\bar{F}_{xi} = \frac{\sigma_3 \cdot \Delta S_i \cdot \cos \beta_i}{S_x}, \quad \bar{F}_{yi} = 0, \quad \bar{F}_{zi} = \frac{\sigma_1 \cdot \Delta S_i \cdot \sin \beta_i}{S_z} \dots (8)$$

ただし, \$0 \le \beta_i \le \frac{1}{2}\pi\$ とする。接点 \$C_i\$ (図-3) において粒子 \$G_i'\$ と \$G_i\$ との間 \$t_i\$ 方向にすべりがあるために, \$\bar{F}_{xi}\$ と \$\bar{F}_{zi}\$ とが満たすべき条件式は次式で与えられる。

$$\bar{F}_{zi} / \bar{F}_{xi} = \tan(\frac{1}{2}\pi + \phi_\mu - \beta_i) \quad \text{ただし, } \phi_\mu \le \beta_i \le \frac{1}{2}\pi \dots (9)$$

(9)式に(8)式を代入すれば次式となる。

$$\sigma_1 / \sigma_3 = S_z / S_x \cdot \tan \beta_i \cdot \tan(\frac{1}{2}\pi + \phi_\mu - \beta_i) \dots (10)$$

(10)式の右辺を極小にする \$\beta_i\$ の値を \$\beta_c\$ とすれば, あらゆる接点の中で \$\beta_c\$ を \$N_i\$ 方向とする接点においてすべりは最も容易に発生する。砂の微視的構造の安定性はこの接点におけるすべりによつて決定されるものと考えれば, (10)式に \$\beta_c\$ を代入して得られる理論式によつて主応力比と微視的構造特性とを関連づけられる。 (10)式の右辺は \$\beta_c = \frac{1}{4}\pi + \frac{1}{2}\phi_\mu\$ で極小となり, (10)式に代入すれば次式となる。

$$\sigma_1 / \sigma_3 = S_z / S_x \cdot \tan^2(\frac{1}{4}\pi + \frac{1}{2}\phi_\mu) \dots (11)$$

図-4 は \$\sigma_1 / \sigma_3\$ と \$S_z / S_x\$ との関係を示している。\$\phi_\mu = 22^\circ, 26^\circ\$ とする (11)式を图中的実線で示し, ●, ■, X, O, □ は相島 A 砂 (0.59~0.84) と B 砂 (0.54~1.19mm) の実験値を示している。\$\phi_\mu\$ のそれぞれ別の値は A, B 砂に相応のもの¹⁰⁾であり, また実験値は理論直線の示す傾向とよく一致している。(11)式は砂の初期構造: 初期間隙比に無関係に成立するものとして導かれたが, 実験によつてもこのことは証明されている。これらの事実から, 砂の構造の安定性は \$\beta_c\$ の方向に \$N_i\$ を持つ接点において, 粒子間接点に作用する X, Z 方向の平均的力 \$\bar{F}_{xi}, \bar{F}_{zi}\$ がすべりの条件式を満足するかどうかにかかっていると見える。

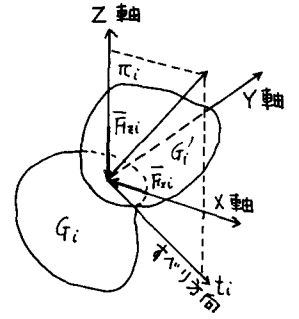


図-3 座標軸の選定

図-3 座標軸の選定

3 任意の接点におけるすべり確率

これまでの議論では \$\bar{F}_{xi}, \bar{F}_{zi}\$ の平均値だけを問題にした。しかしより厳密に問題を検討する場合, それらは平均値のまわりへ分散する確率変数とみなければならぬ。\$\bar{F}_{xi}\$ は平均値を \$\bar{F}_{xi}\$ とし, 分散を

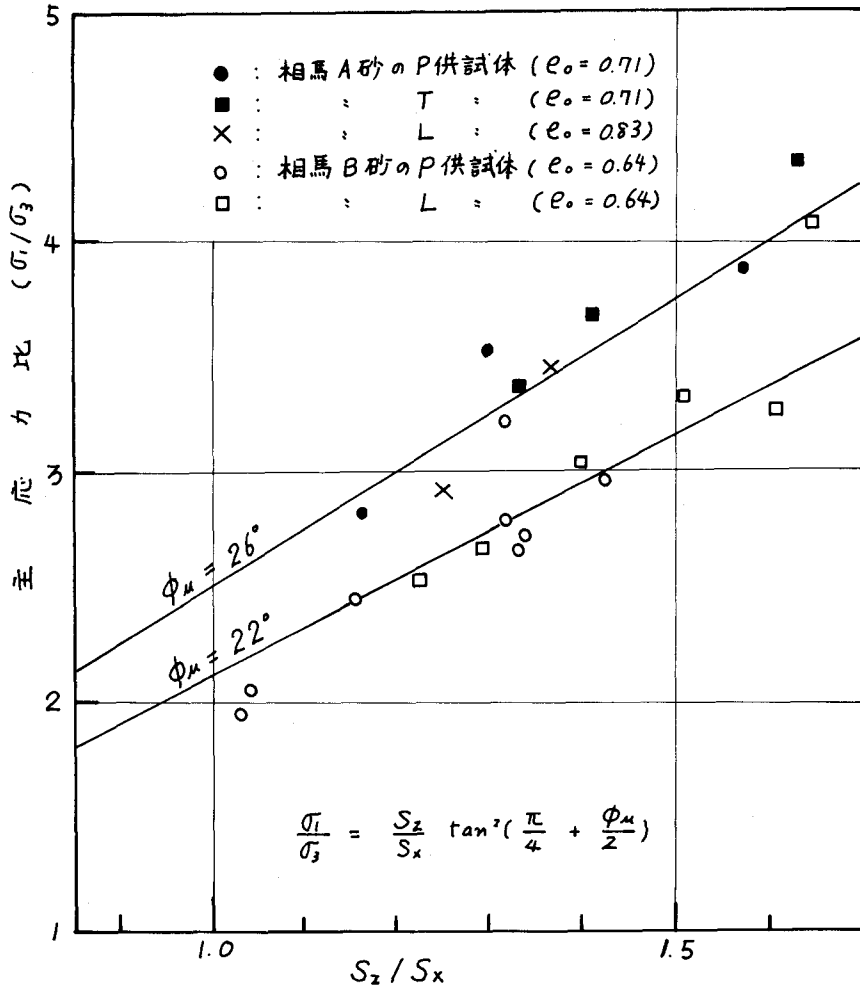


図-4 σ_1/σ_3 と S_z/S_x との関係図

$A(\frac{\pi}{4}-\beta)$ とする確率変数とし、その密度函数を次式で与える。

$$f(F_{xi}) = \frac{1}{2A} \cos \frac{1}{A} (F_{xi} - \bar{F}_{xi}) \quad , \quad \int_{\bar{F}_{xi}-\frac{A}{2}}^{\bar{F}_{xi}+\frac{A}{2}} f(F_{xi}) dF_{xi} = 1 \quad \dots (12)$$

同様にして F_{yi}, F_{zi} の密度函数を次式で与える。

$$f(F_{yi}) = \frac{1}{2B} \cos \frac{1}{B} (F_{yi} - \bar{F}_{yi}) \quad , \quad f(F_{zi}) = \frac{1}{2C} \cos \frac{1}{C} (F_{zi} - \bar{F}_{zi}) \quad \dots (13)$$

この時 $F_{zi}/F_{xi} \geq \tan(\frac{1}{2}\pi + \phi_\mu - \beta_i)$ の不等式を満足する確率 $P(\beta_i)$ は β_i 方向に N_i を持つ接点 C_i においてすべり) が発生する確率を定義する。 F_{xi}, F_{zi} は独立変数とみなせよのち $P(\beta_i)$ は次式となる。

$$P(\beta_i) = \int_{\bar{F}_{xi}-\frac{A}{2}}^{\bar{F}_{xi}+\frac{A}{2}} f(F_{xi}') dF_{xi}' \int_{\bar{F}_{xi}'}^{\bar{F}_{zi}+\frac{C}{2}} f(F_{zi}) dF_{zi} \quad \dots (14)$$

ただし、 $F_{xi}' = F_{xi} \cdot \tan(\frac{1}{2}\pi + \phi_\mu - \beta_i)$, $\bar{F}_{xi}' = \bar{F}_{xi} \cdot \tan(\frac{1}{2}\pi + \phi_\mu - \beta_i)$ とする。
 変数 F_{xi} & F_{zi} の分散を実験的に求めることは極めて困難なので、ここでは直感的に、分散はその

変数の平均値に比例するものと仮定する。すなわち、 $A' = k \bar{F}_x i$, $C = k \bar{F}_z i$ とする。

(12), (13) 式を(14)式に代入し、積分すれば次式を得る。

$$1) \frac{\sigma_1}{\sigma_3} \cdot \frac{S_x}{S_z} \leq G(\beta_i) \frac{1 - \frac{\pi k}{2}}{1 + \frac{\pi k}{2}} \text{ の場合}$$

$$P(\beta_i) = 0 \text{ ----- (15)}$$

$$2) G(\beta_i) \frac{1 - \frac{\pi k}{2}}{1 + \frac{\pi k}{2}} < \frac{\sigma_1}{\sigma_3} \cdot \frac{S_x}{S_z} \leq G(\beta_i) \text{ の場合}$$

$$P(\beta_i) = \frac{1}{4} \left\{ \sin \frac{1}{k} (R_1 + \frac{\pi k}{2} R_1 - 1) + 1 \right\} - \frac{R_1^2}{4(R_1^2 - 1)} \left\{ \sin \frac{1}{k} (R_1 + \frac{\pi k}{2} R_1 - 1) + \sin \frac{1}{k} (R_2 - \frac{\pi k}{2} R_2 - 1) \right\} \dots (16)$$

$$3) G(\beta_i) < \frac{\sigma_1}{\sigma_3} \cdot \frac{S_x}{S_z} \leq \frac{1 + \frac{\pi k}{2}}{1 - \frac{\pi k}{2}} \text{ の場合}$$

$$P(\beta_i) = \frac{3}{4} + \frac{1}{4} \left\{ \sin \frac{1}{k} (R_1 - \frac{\pi k}{2} R_1 - 1) \right\} - \frac{R_1^2}{4(R_1^2 - 1)} \left\{ \sin \frac{1}{k} (R_1 - \frac{\pi k}{2} R_1 - 1) + \sin \frac{1}{k} (R_2 + \frac{\pi k}{2} R_2 - 1) \right\} \dots (17)$$

$$4) G(\beta_i) \frac{1 + \frac{\pi k}{2}}{1 - \frac{\pi k}{2}} < \frac{\sigma_1}{\sigma_3} \cdot \frac{S_x}{S_z} \text{ の場合}$$

$$P(\beta_i) = 1 \text{ ----- (18)}$$

ただし、 $R_1 = \bar{F}_z i / \bar{F}_x i$, $R_2 = \bar{F}_x i / \bar{F}_z i$, $G(\beta_i) = \tan \beta_i \cdot \tan(\frac{1}{2}\pi + \phi_m - \beta_i) \geq 0$, $k \geq \frac{2}{\pi}$ とする。

σ_1/σ_3 と S_z/S_x との間に成り立つ基本的関係は(11)式で与えられている。すなわち、 $\beta_i = \beta_c$ の時、 $\sigma_1/\sigma_3 / S_z/S_x = G(\beta_c)$ であり、 β_i が β_c 以外の $\phi_m \leq \beta_i \leq \frac{1}{2}\pi$ 範囲内にある時、 $\sigma_1/\sigma_3 / S_z/S_x < G(\beta_i)$ である。このことから主応力比と構造特性がある値を与える場合において、 $\phi_m \leq \beta_i \leq \frac{1}{2}\pi$ の範囲内には N の方向を持つ接点でのべりが発生する確率(15)あるいは(18)式で与えられ、 $0 \leq \beta_i < \phi_m$ の場合は $P(\beta_i) = 0$ とする。

(15), (16) 式の $P(\beta_i)$ を与える式を使い、粒状体の構造特性 (S_z/S_x) と変形特性 ($d\epsilon_1, d\epsilon_3$) との理論的関係式を導くことが出来る。このことは図1に次の幾何学的に報告する。

参考文献

- (1) Horne, M.R. (1965) "The Behaviour of an Assembly of Rigid and Rigid, Cohesimless Particles" Proc. Roy. Soci. A. Vol. 286, p. 62
- (2) Murayama, S. (1966) "A Theoretical Consideration on a Behaviour of Sand," Proc. IUTAM, Symp. Rheology Soil Mech, Grenoble, p. 9
- (3) 小田匡寛 (1970) "砂のふるた粒状体の構造に関する研究" 第5回土質工学研究発表会講演集, p. 65
- (4) ——— (1971) "砂のふるた粒状体の構造に関する研究(物2)" 第6回土質工学研究発表会講演集, p. 81
- (5) ——— (1971) "砂の変形率とともた構造変化に関する研究" 土学会会第26回年次学術講演会講演集, p. 95
- (6) ———, 小林亮亮, 山崎清衛 (1972) "砂の微視的変形機構について" 第7回土質工学研究発表会講演集, p. 161
- (7) Oda, M. (1972 a) "Initial Fabric and Their Relations to Mechanical Properties of Sands" Soils and Foundations, Vol. 12, No. 4
- (7) ——— (1972 b) "The Mechanism of Fabric Change during Compressional Deformation of Sand" Soils and Foundations, Vol. 13, No. 1, p. 1
- (9) ——— (1972 c) "Deformation mechanism of Granular Materials in Compression," Soils and Foundations (in print)
- (10) Rowe, P.W. (1962) "The Stress-Dilatancy Relation for Static Equilibrium of an Assembly of Particles in Contact"